

ЭМБРИОЛОГИЯ

В. С. РЕПИН, В. Н. РОСТОВЦЕВ

ВЫДЕЛЕНИЕ ВЫСОКОПОЛИМЕРНОЙ
ДИГИДРОФОЛАТРЕДУКТАЗЫ ИЗ ЭМБРИОНОВ МЛЕКОПИТАЮЩИХ
МЕТОДОМ ГЕЛЬ-ФИЛЬТРАЦИИ НА КОЛОНКЕ СЕФАРОЗА 4В

(Представлено академиком В. Н. Черниговским 2 VI 1970)

Дигидрофолатредуктаза (ДГФР) (КФ 1.5.1.3; 5, 6, 7, 8-тетрагидрофолат: НАДФ-оксиредуктаза) является важнейшим энзимом-регулятором фолатного цикла клетки (¹). Особый интерес вызывают функции этого энзима на разных стадиях эмбриогенеза млекопитающих, поскольку в эмбриональных клетках фолатный цикл выполняет роль приводного механизма дифференцировки, обеспечивая потребность клеток в нуклеотидах, сопряжение ауторедупликации и транскрипции ДНК, регуляцию формильного пула инициаторных тРНК, биосинтез липидов, некоторых гормонов и медиаторов (^{2, 3}). Биохимические функции, кинетические характеристики и молекулярная структура ДГФР дифференцированных клеток уже весьма подробно описаны. Известно, что во взрослом организме млекопитающих основная часть энзима локализована в печени (пДГФР). Для всех изученных видов млекопитающих пДГФР представлена энзимом — полипептидной цепью с молекулярным весом порядка 21 000—24 000 (⁴). Представляет интерес выяснить, каким образом осуществляется синтез коэнзимных форм фолиевой кислоты (ФК) у эмбрионов млекопитающих до закладки печени и на тех стадиях, когда этот орган выполняет преимущественно кроветворные функции (11—13 день развития эмбрионов крыс) (⁵).

Работа выполнена на эмбрионах нелинейных белых крыс весом 230—250 г. Первым днем беременности считали день обнаружения спермиев в вагинальных мазках у самок, подсаженных накануне вечером на стадиях проэструса — эструс к самцам. Животных убивали на заданном сроке беременности, плоды извлекали из матки, отделяли от плодных оболочек, взвешивали и гомогенизировали в тефлоновом гомогенизаторе в 0,25 M сахарозе — 0,05 M триплекс pH 7,4 (соотношение вес ткани: объем сахарозы 1 : 4). Для приготовления гомогената в количестве, достаточном для дальнейшего фракционирования, забивали 20—35 беременных крыс 11 или 12 дня беременности, и для извлечения энзима брали 180—250 живых эмбрионов. Все операции производили на холода. Ядра, митохондрии и микросомы отделяли обычным способом дифференциального скоростного центрифугирования. Постмикросомальную растворимую фракцию (РФ) эмбриональных клеток, полученную центрифугированием 90 мин. при 45 000 g, в объеме 2 мл. наносили на колонку Сефароза 4В размером 2,0×50 см. Эта колонка была предварительно откалибрована при помощи «маркерных» полимеров (рис. 1). Все операции с сефарозой: отмучивание, уравновешивание, наполнение колонки — были выполнены в соответствии с рекомендациями фирмы «Pharmacia» (⁶). Перед опытом колонка была уравновешена 0,15 M триплекс — 0,02 меркаптоэтанолом (МЭ) pH 7,4. Элюсию вели тем же буфером фракциями по 3 мл на автоматическом коллекторе. Объемы раскопанных проб повторно измерялись. Скорость элюции составляла 5 мл/час·см². Расчет коэффициента распределения K_{av} биополимеров

как функция молекулярного веса производили по формуле:

$$K_{av} = \frac{V_e - V_0}{V_t - V_0},$$

где V_e — объем элюции данного вещества; V_t — объем рабочего столба сефарозы (в нашем случае 157 мл); V_0 — свободный объем колонки, измеренный при помощи высокополимерной фракции голубого декстрана 2000

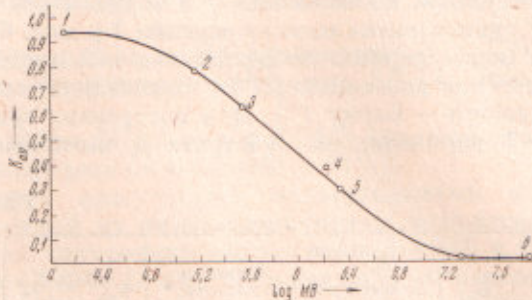


Рис. 1. Определение молекулярного веса впДГФР эмбрионов методом гель-фильтрации на колонке Сефароза 4В по Эндрюсу⁽⁵⁾. 1 — цитохром С, 2 — церулоплазмин, 3 — впДГФР, 4 — фаг F₂, 5 — декс-тран голубой, 6 — фаг λ.

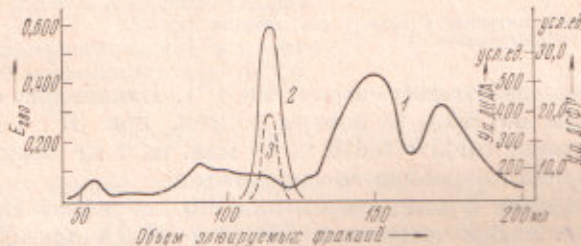


Рис. 2. Хроматограмма РФ эмбрионов крыс 11 дня развития на колонке Сефароза 4В. 1 — E_{280} , 2 — специфическая удельная активность ДГФР, 3 — то же ДЦДА

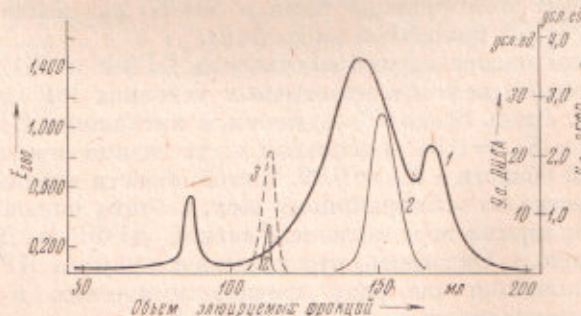


Рис. 3. Гель-фильтрация РФ гомогената печени взрослой крысы через колонку Сефароза 4В. Условия опыта и обозначения те же, что на рис. 2

(«Serva Entwicklung», Швейцария). В нашем опыте $V_0 = 44$ мл. Объем элюции вещества определяли с момента всасывания половины объема пробы (2 мл) до середины фракции, имеющей максимальное специфическое поглощение для элюируемого соединения. В каждой фракции измеряли оптическую плотность при 260 и 280 мк и активность ДГФР и дез-

ксидитидилатдезаминазы (ДЦДА). Активность ДГФР определяли по методу (⁷). Диgidрофолиевую кислоту (ФК-Н₂) получали восстановлением ФК («Calbiochem») дитионитом в присутствии аскорбата (⁸). Препараты ФК-Н₂ имели $E_{280/340} = 3,0$, что соответствует 100% восстановлению ФК. Начальную скорость энзиматической реакции определяли по ΔE_{340} за первые 15 сек. после запуска реакции ФК-Н₂ на спектрофотометре СФ-4А с электронным потенциометром ЭПП-17МЗ в качестве регистрирующего устройства. Специфичность окисления НАДФ-Н₂ в системе контролировали $10^{-5} M$ аминоптерином, вызывающим 100% остановку реакции. 1 ед. активности ДГФР эквивалентна восстановлению 1 мкмоль ФК-Н₂ за 1 мин., рассчитанному из молекулярного коэффициента экстинкции $12\,300 \text{ моль}^{-1} \cdot \text{см}^{-1}$ (⁹). Кинетические константы ДГФР определяли методом обратных величин по Лайнупверу — Берку (¹⁰). Для построения графика использовали не менее 4—5 концентраций субстрата и ингибитора. Активность

Таблица 1

Энзим	Молекул. вес ($\pm 10\%$)	Оптимум рН	Термостабильность,* %	$K_m^{\text{ФК-Н}_2}, M$	$K_i^{\text{Пир}}, M^{**}$
впДГФР	$27 \cdot 10^4$	6,6	<20	$1,7 \cdot 10^{-8}$	$4,8 \cdot 10^{-10}$
пДГФР	$21 \cdot 10^3$	7,2 6,5	{ 67	$1,6 \cdot 10^{-7}$	$1,4 \cdot 10^{-8}$

* Остаточная активность после 3 мин. нагрева при 50°.

** Пир — пираметамин.

ДЦДА измеряли спектрофотометрически (¹¹). Начальную скорость реакции высчитывали по ΔE_{290} за первые 10 мин. при 37°. 1 ед. активности ДЦДА соответствует $\Delta E_{290} = 0,010$ за 10 мин. на 1 мг белка. Концентрацию белка измеряли микробиуретовым методом.

Типичная картина фракционирования РФ эмбрионов 11 дня развития показана на рис. 2. Вся активность ДГФР и ДЦДА оказалась сосредоточенной в зоне, соответствующей объему элюции 110—119,3 мл. Максимальная активность обоих энзимов была обнаружена в пробе $116,5 \pm 1,5$ мл ($K_{av} = 0,64 \pm 0,02$). Молекулярный вес этой зоны, рассчитанный из калибровочной кривой (см. рис. 1), соответствует $270\,000 \pm 10\%$. Удельная активность ДГФР этой фракции была в 50—80 раз выше удельной активности ДГФР в РФ, наносимой на колонку.

Иная картина распределения активности ДГФР и ДЦДА была обнаружена при хроматографии в идентичных условиях РФ печени взрослой крысы (рис. 3). Лишь около 5% суммарной активности ДГФР удавалось выявить в зоне с $K_{av} = 0,64$, а основная часть энзима локализована в низкомолекулярной области с $K_{av} = 0,99$. В этой области колонка сефарозы не разделяет вещества по молекулярному весу, поэтому определить достаточно точно молекулярные веса низкополимерной ДГФР и ДЦДА из этих данных невозможно. Оказалось, что высокополимерная ДГФР эмбрионов (впДГФР) отличается по ряду физико-химических и кинетических свойств от низкомолекулярной пДГФР (табл. 1).

Особенно интересен тот факт, что эмбриональная впДГФР имеет на порядок более высокое сродство к специфическому ингибитору — 2,4-диамино, 5-хлорфенил, 6-этилпиридинину (пираметамину). Любопытно, что впДГФР до сих пор была обнаружена лишь в клетках простейших, обладающих необычайно высокой чувствительностью к пираметамину. Это некоторые виды малярийного плазмодия и большая группа трипаносомид (¹², ¹³). На принципе селективной чувствительности впДГФР простейших к производным 2,4-диаминопиридинина построена стратегия химиотерапии этих паразитарных заболеваний.

По аналогии мы предположили, что обнаруженная недавно высокая чувствительность эмбриональных клеток млекопитающих к пираметамину и его аналогам, выражающаяся в гибели и уродствах эмбрионов на определенных стадиях развития (16), имеет в основе сходный молекулярный механизм. В настоящее время мы получили прямые экспериментальные доказательства в пользу того, что явления селективного действия пираметамина на эмбриогенез млекопитающих объясняются, в первую очередь, наличием в плодах впДГФР, обладающей повышенным сродством к аналогам 2,4-диаминопирамидина по сравнению с пДГФР клеток материнского организма.

Во всех наших опытах по фракционированию впДГФР в той же зоне мы обязательно обнаруживали активность ДЦДА. Этот факт можно объяснить двояко:

1. Эмбриональная ДЦДА как и ДГФР представлена полимером сходного молекулярного веса (т. е. $270\,000 \pm 10\%$).

2. В эмбрионах присутствует мультиэнзимный комплекс ДГФР — ДЦДА, составленный из низкомолекулярных мономеров. Этот мультиэнзим осуществляет синхронный синтез дезокси-УМФ и ФК-Н₄ из дигидрофолата и дезокси-УМФ. В этих условиях впДГФР в основном используется для биосинтеза ДНК. Структурное «разобщение» птероэнзимов и биосинтеза ДНК на уровне тимидилатсинтетазы в эмбрионах наступает после начала синтеза водорасторимой низкомолекулярной ДГФР печени. С этого момента устанавливаются новые контрольные механизмы сопряжения биосинтеза ДНК с работой фолатного цикла, свойственные дифференцированным типам клеток млекопитающих.

Институт экспериментальной медицины
Академии медицинских наук СССР
Ленинград

Поступило
21 V 1970

ЦИТИРОВАННАЯ ЛИТЕРАТУРА

- ¹ Adv. Enzyme Regulat. (Ed. G. Weber), 6, 305 (1968). ² E. L. R. Stokstad, J. Koch, Physiol. Rev., 47, 83 (1967). ³ P. Lengyel, D. Söll, Bacteriol. Rev., 33, 265 (1969). ⁴ F. Keibel, In: Normentafeln zur Entwicklungsgeschichte der Wirbeltiere (Wanderratte), H. 15, 78 (1937). ⁵ P. Andrews, Biochem. J., 91, 222 (1964). ⁶ Gel Filtration in Theory and Practice, Pharmacia, Upsalla, 1968. ⁷ C. K. Mathews, K. G. Scrimgeour, F. M. Huynhnekeens, Methods in Enzymol., 6, 364 (1963). ⁸ S. Futterman, J. Biol. Chem., 228, 1031 (1957). ⁹ B. L. Hillcoat, P. F. Nixon, R. L. Blakeley, Anal. Biochem., 21, 178 (1967). ¹⁰ М. Диксон, Э. Уэбб, Ферменты, ИЛ, 1961. ¹¹ F. Maley, Methods in Enzymol., 12, Part A, 170 (1967). ¹² R. Ferone, J. J. Burchall, G. H. Hitchings, Molec. Pharm., 5, 49 (1969). ¹³ W. E. Guttridge, J. J. Jaffe, J. J. McCormack, Biochim. et biophys. acta, 191, 753 (1969). ¹⁴ А. П. Дыбани, И. М. Акимова, В. Н. Светлова, ДАН, 163, 1514 (1965).